

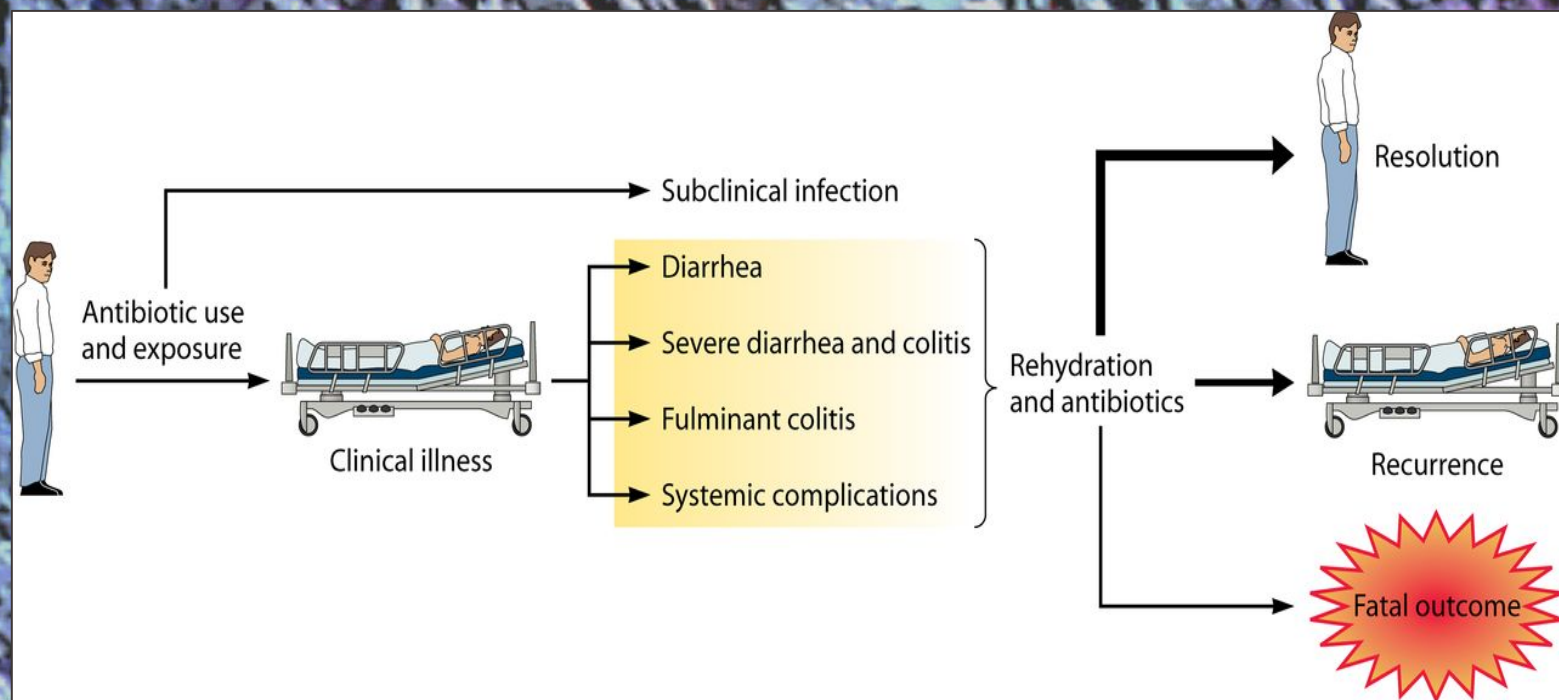
Tipizzazione del *Clostridiooides (Clostridium) difficile*

Patrizia Spigaglia

Istituto Superiore di Sanità

patrizia.spigaglia@iss.it

Infezione da *C. difficile* (CDI)



Microbiology and Molecular Biology Reviews. 2013. 77:567- 581

HA-CDI

Esordio dei sintomi in ospedale dopo 48 h dal ricovero
oppure

in comunità nelle 4 settimane successive una precedente dimissione ospedaliera



gl J Med 2015;372:825-34



cdc.europa.eu/en/publications/Publications/
re-associated-infections-antimicrobial-use-

USA

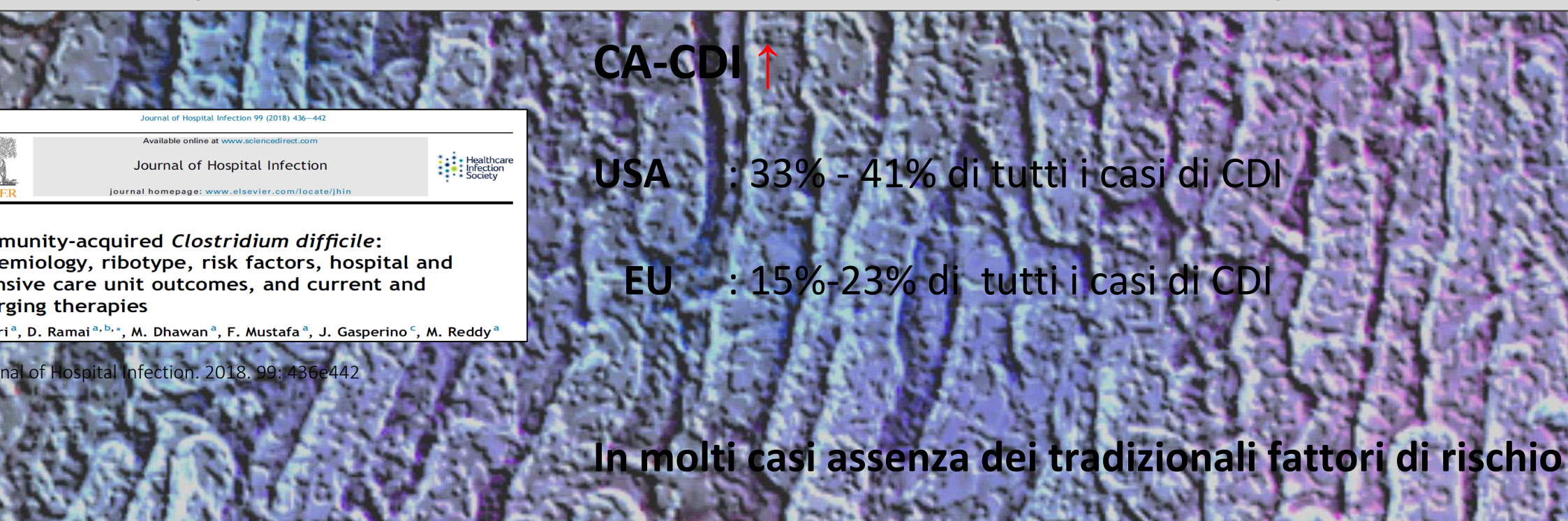
- 453 000 CDI / anno
- 29 500 morti/ anno (diretta o indiretta)
- 1° agente responsabile di HAI

EU

- 123 997 CDI / anno
- 9% mortalità (diretta o indiretta)
- 8° → 6° agente responsabile di HAI

CA-CDI

Esordio dei sintomi in comunità in assenza di ricovero nelle 12 settimane precedenti
oppure
in ospedale entro 48 dal ricovero in assenza di ricovero nelle 12 settimane precedenti



Journal of Hospital Infection 99 (2018) 436–442

Available online at www.sciencedirect.com

Journal of Hospital Infection
journal homepage: www.elsevier.com/locate/jhin



Community-acquired *Clostridium difficile*:
epidemiology, ribotype, risk factors, hospital and
intensive care unit outcomes, and current and
emerging therapies

R. D. Ramai^{a,b,*}, M. Dhawan^a, F. Mustafa^a, J. Gasperino^c, M. Reddy^a

Journal of Hospital Infection. 2018; 99: 436e442

Cosa è cambiato?

mergenza di nuovi tipi di *C. difficile*

acquisizione di nuove caratteristiche

- Aumento numero casi e gravità delle infezioni
- Aumento delle ricorrenze / fallimenti terapici
- Elevata mortalità

Le SOP dell'ECDC



European Centre for Disease Prevention and Control

Laboratory procedures for diagnosis and typing of
human *Clostridium difficile* infection

Stockholm: ECDC; 2018

La tipizzazione del CD

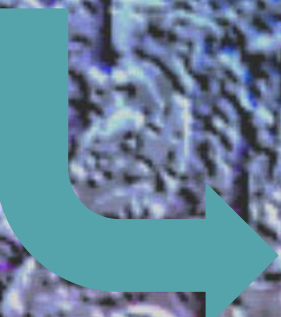
Alcohol shock o heat shock



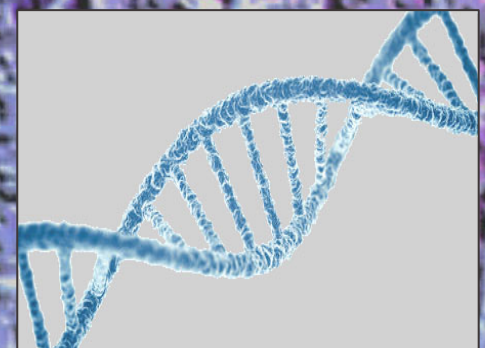
Isolamento
C. difficile



Identificazione
Test per le tossine



Estrazione DNA genomico

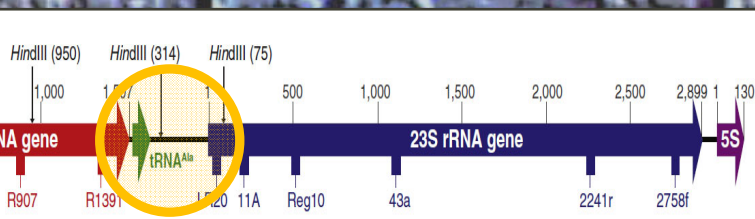


La tipizzazione del CD

Method	Target	Discriminatory power	Typeability	Reproducibility	Ease of interpretation	Technical complexity	Transportability
Band-based							
REA	Whole genome	Good	Fair	Fair	Poor	Moderate	Poor
PFGE	Whole genome	Moderate	Fair	Moderate	Fair	Moderate	Moderate
PCR ribotyping	16S-23S ISR	Good	Moderate	Moderate	Moderate	Low	Moderate
Capillary PCR ribotyping	16S-23S ISR	Excellent	Moderate	Good	Good	Moderate	Good
MLVA	Whole genome, tandem repeats	Excellent	Poor	Moderate	Good	Moderate	Moderate
Sequence-based							
MLST 7HG	7 HG	Good	Moderate	Moderate	Excellent	Moderate	Excellent
SNP typing	Whole genome, SNPs	Excellent	Moderate	Moderate	Excellent	High	Good

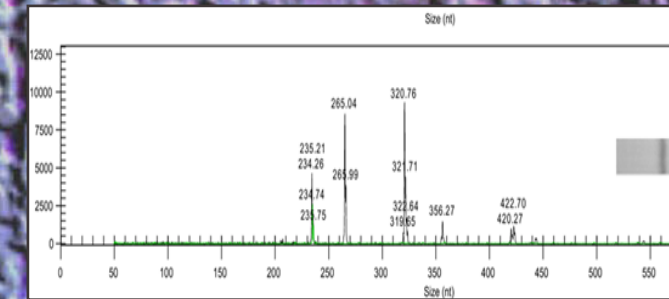
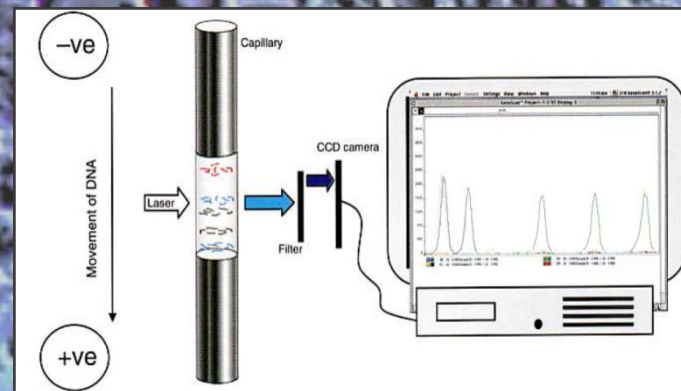
veill. 2013;18(4):pii=20381

Capillary PCR-ribotyping



Amplificazione delle regioni
inter-geniche

Operoni rRNA



WEBrizo database
The Austrian Agency for Health and Food Safety

Identificazione Ribo-Type (R)

RT in Europa

ENCE AND OUTBREAK REPORT

Prevalence of *Clostridium difficile* PCR ribotypes in Europe: results from the European, multicentre, prospective, biannual, point-prevalence study of *Clostridium difficile* infection in hospitalised patients with diarrhoea (EUCLID), 2012 and 2013

Shaw ¹, CM Longshaw ², DA Burns ², GL Davis ¹, MH Wilcox ¹, on behalf of the EUCLID study group ³

¹Centre for Biomedical and Clinical Sciences, University of Leeds, Leeds, United Kingdom

²EMA, Chertsey, United Kingdom

³The EUCLID study group are listed at the end of the article

✉: Mark Harvey Wilcox (mark.wilcox@nhs.net)

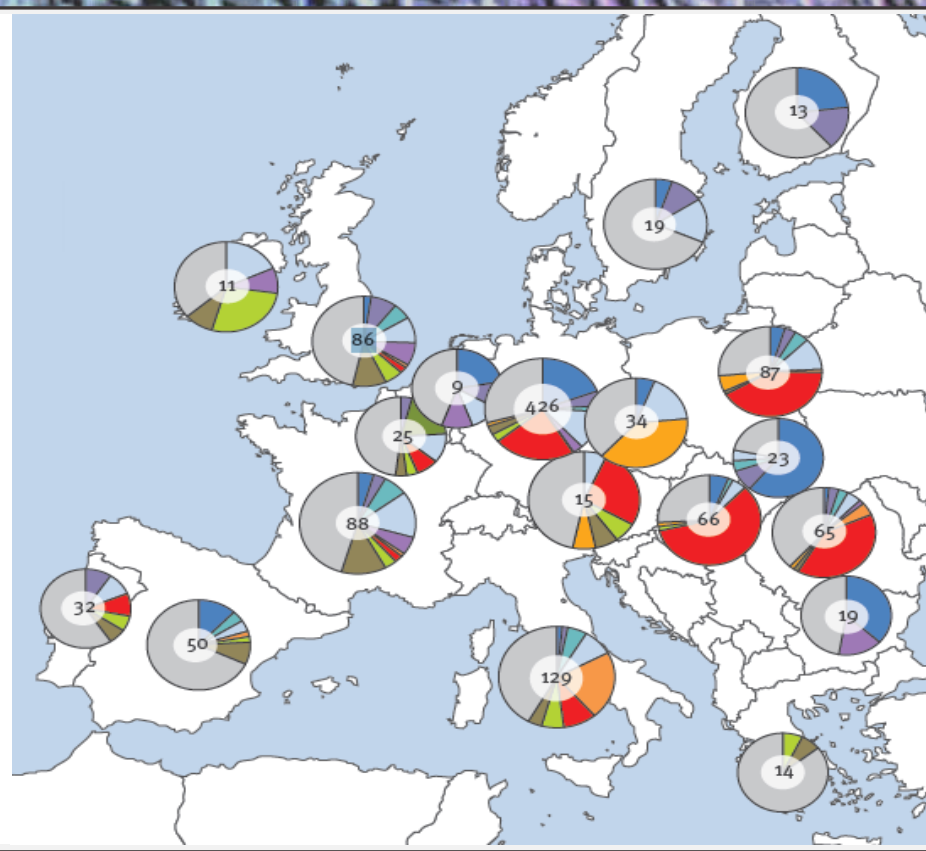
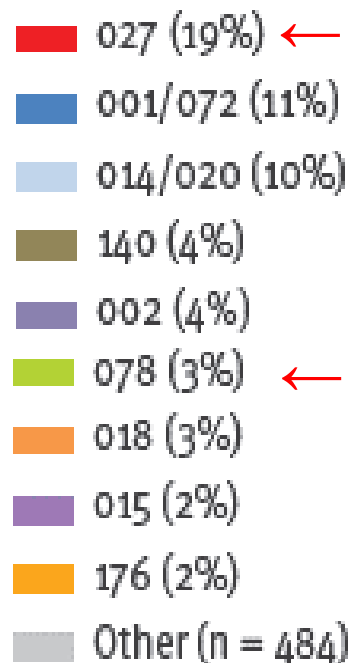
Epidemiol. Infect. 2016; 141 (29): pii=30294

19 paesi EU

1196 ceppi

125 RT identificati

Overall ribotype prevalence



“Highly virulent” RT

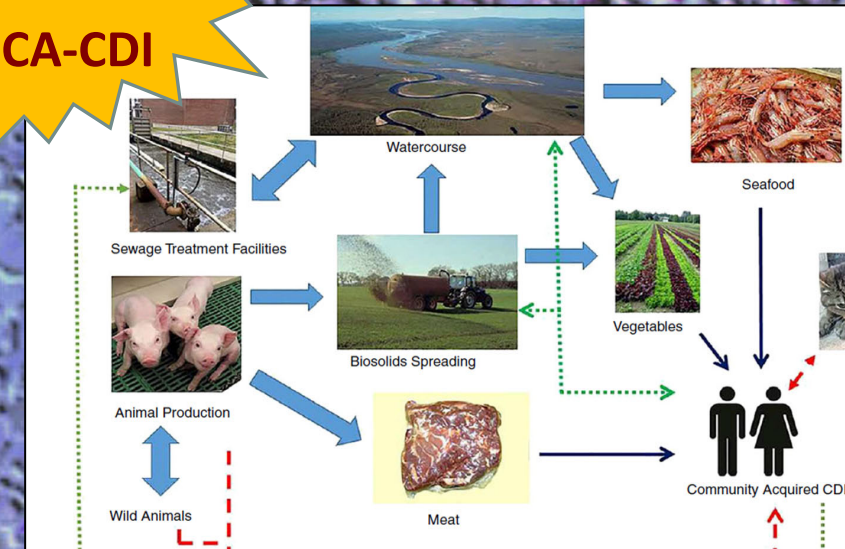
- Diffusione a livello mondiale
- Infezioni gravi / ricorrenze
- Elevata mortalità

RT 027
HA-CDI



CDC Threat Report 2013

RT 078
CA-CDI

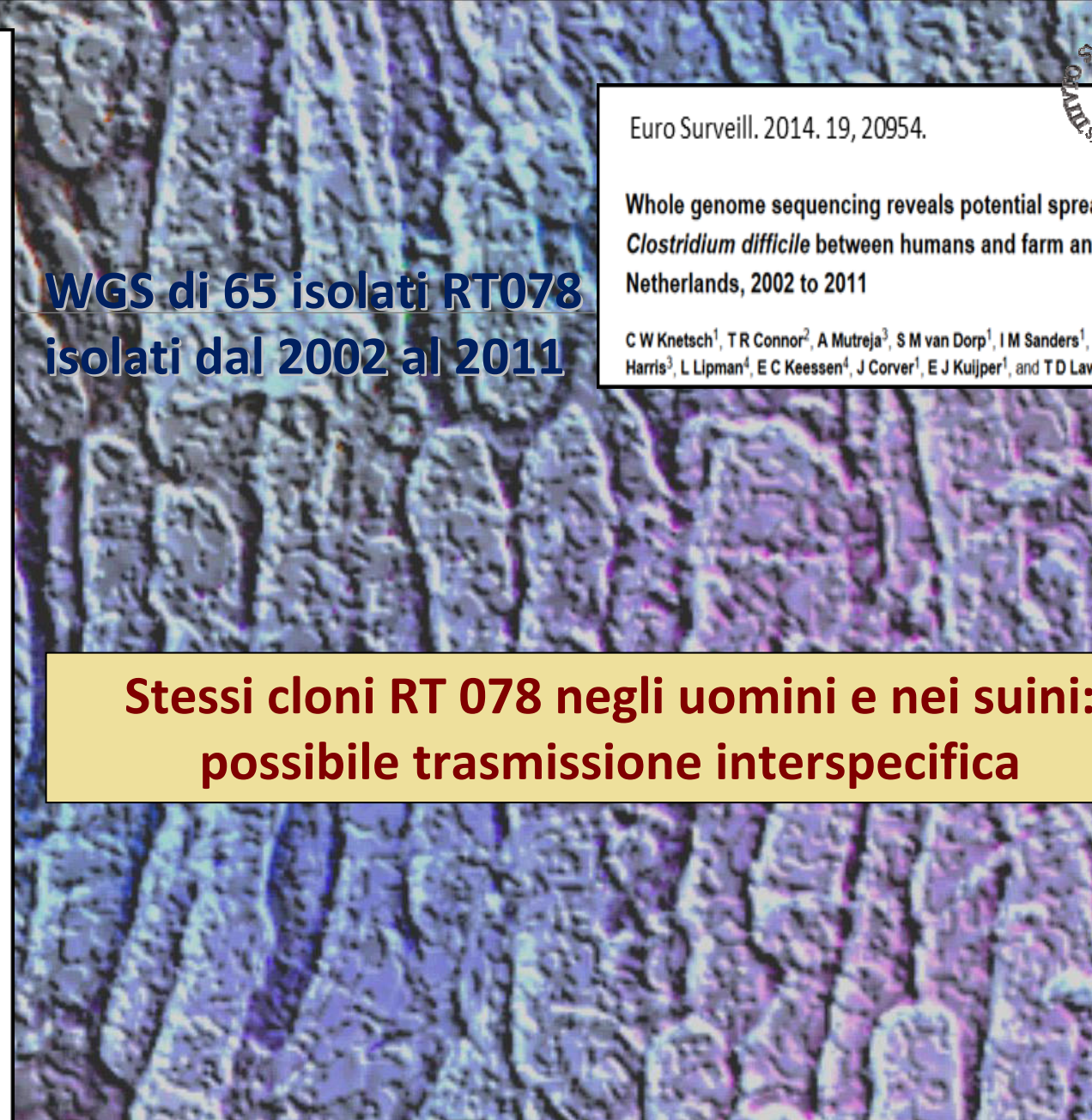
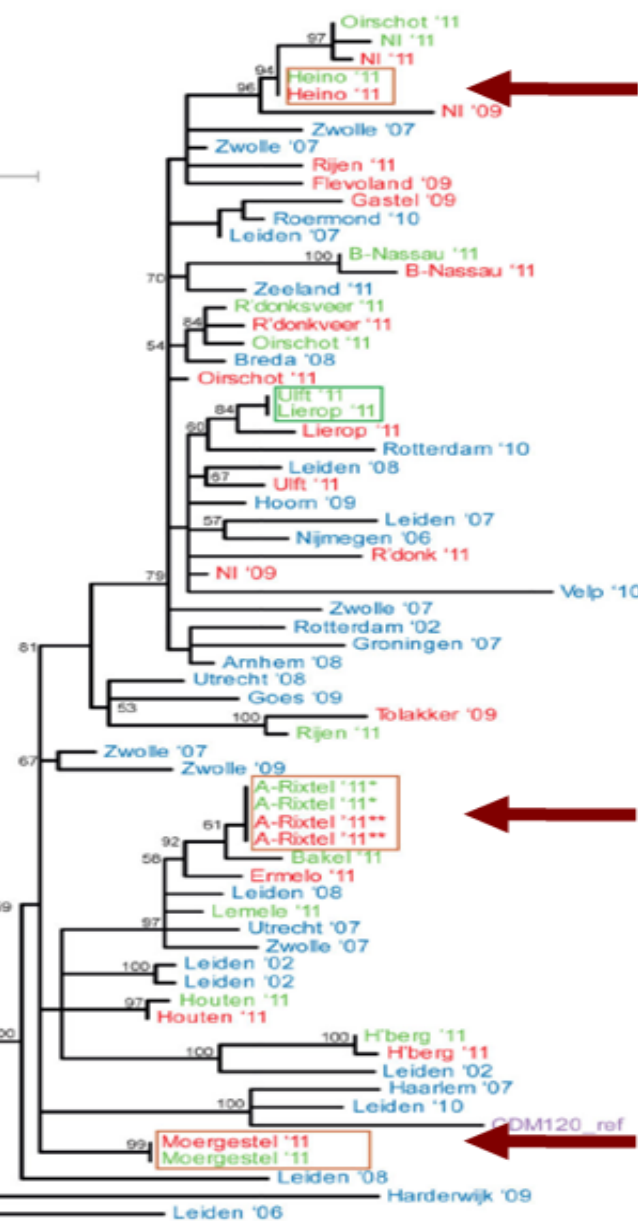


J Appl Microbiol. 2017. 122:542-553

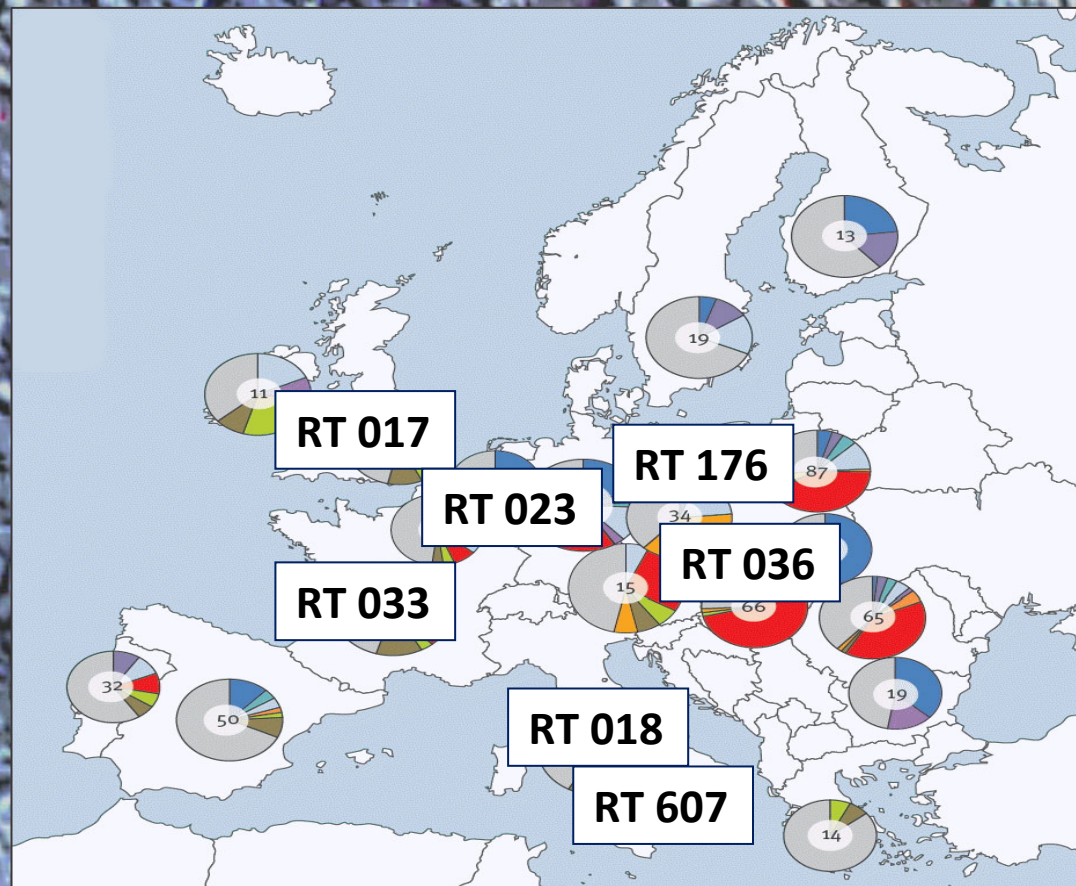
B)

Pig
Farmer
Clinical

10 SNPs



RT emergenti



RT 036: Ungheria

RT 023: Germania

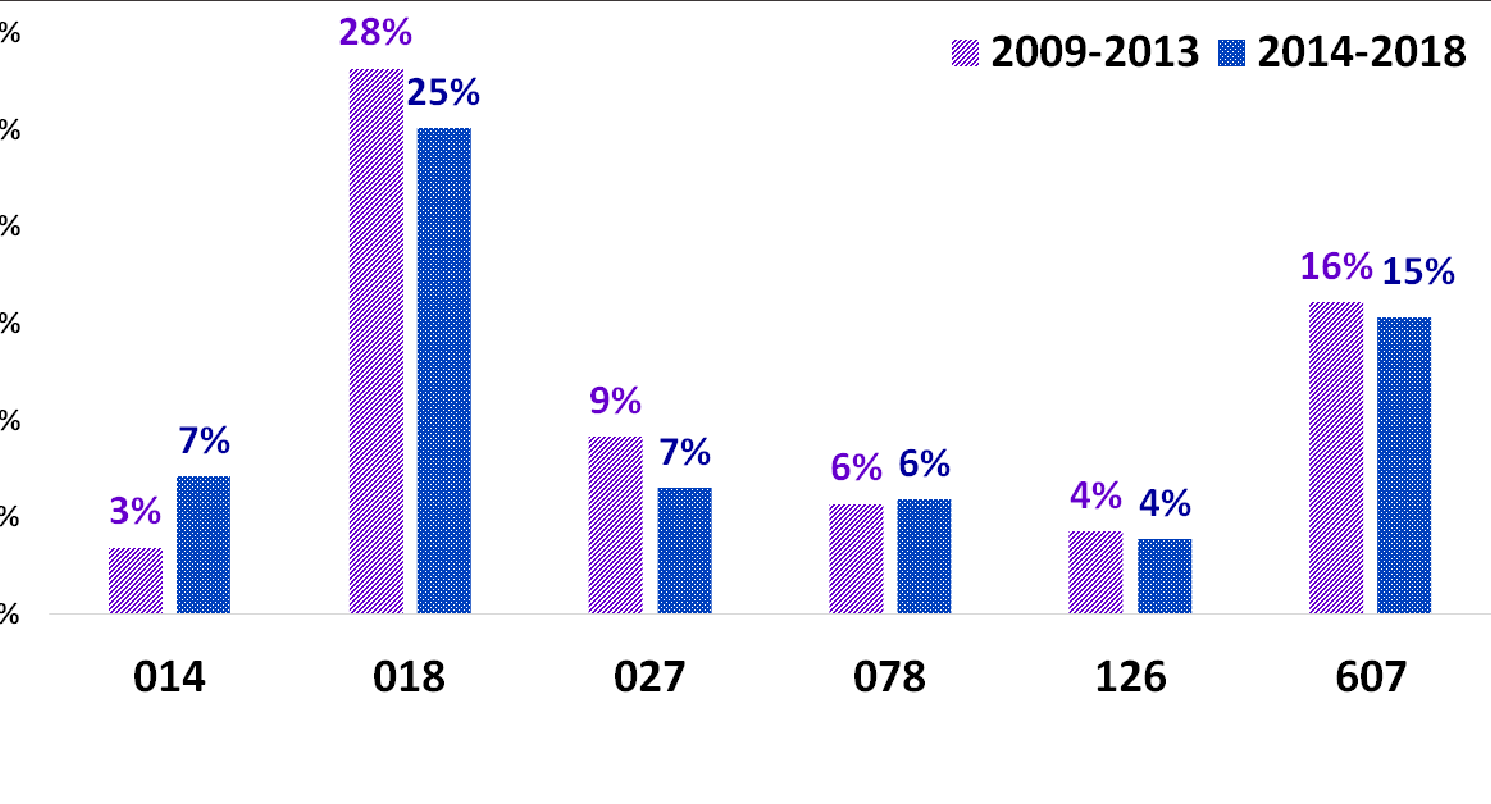
RT 176: Polonia, Repubblica Ceca, Croazia

RT 017: UK, Olanda, Germania

RT 033: Francia

RT 018 e RT 607: Italia

RT in Italia (dati ISS)



2009 – 2018

980 ceppi

100 RT identificati

RT 018 e RT 607
predominanti e

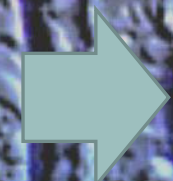
filogeneticamente correllati

Le tossine

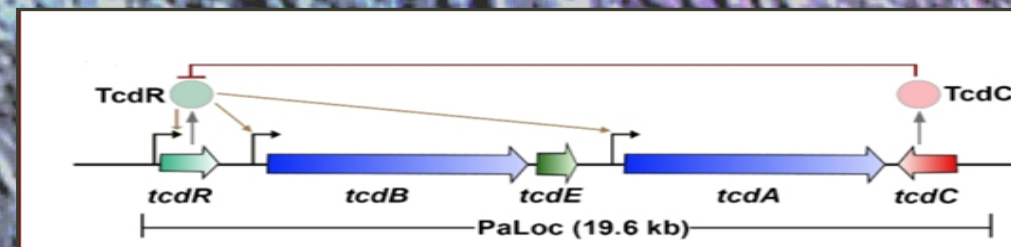
HNICAL REPORT

Laboratory procedures for diagnosis and typing of human *Clostridium difficile* infection

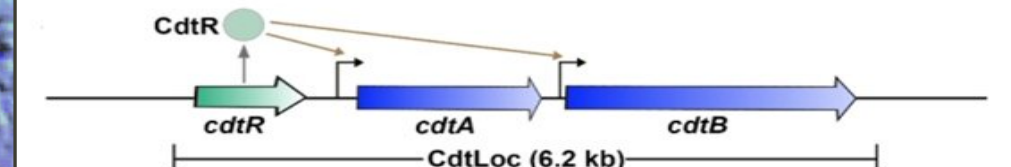
Standard operating procedure for multiplex PCR for characterisation of *Clostridium difficile*



PaLoc



CdtLoc



Tossina B

Tossina A

Tossina Binaria (CDT)

Laboratory procedures for diagnosis and typing of human *Clostridium difficile* infection. Stockholm: ECDC; 2018.

I profili tossinogenici

+B+CDT-

più diffuso

Clade 1

(RT 001 - RT 014 - RT 018 - RT 607 e molti altri)

-B+CDT-

solo tossina B → CDI

Clade 4

(RT 017)

+B+CDT+

W e la molti RT emergenti

Clade 2

(incluso **RT 027-lineage**: RT 016 - RT 036 - RT 080 - RT 106 - RT 176 - RT 244 - RT 32

Clade 5

(incluso **RT 078-lineage**: RT 066 - RT126 - RT 620)

Clade 3

(RT 023)

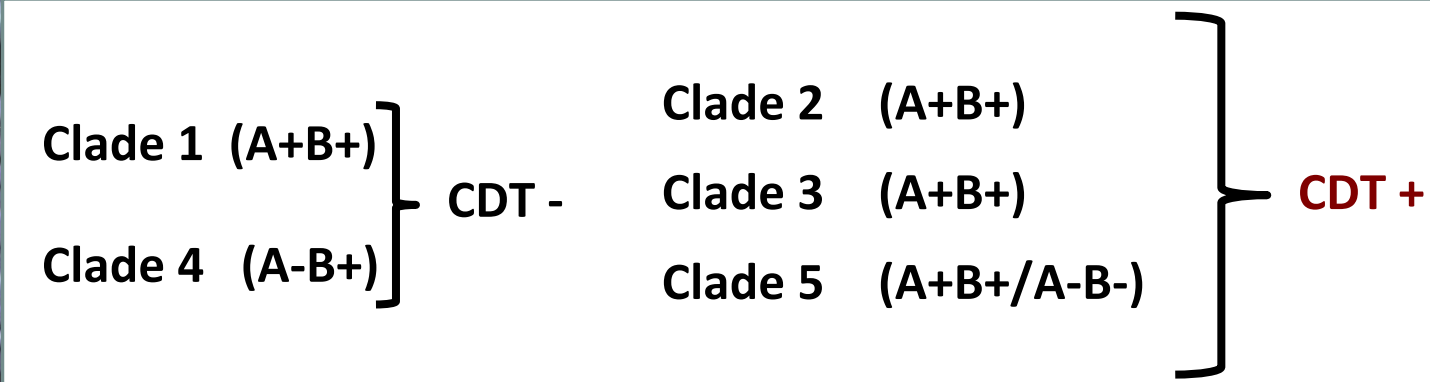
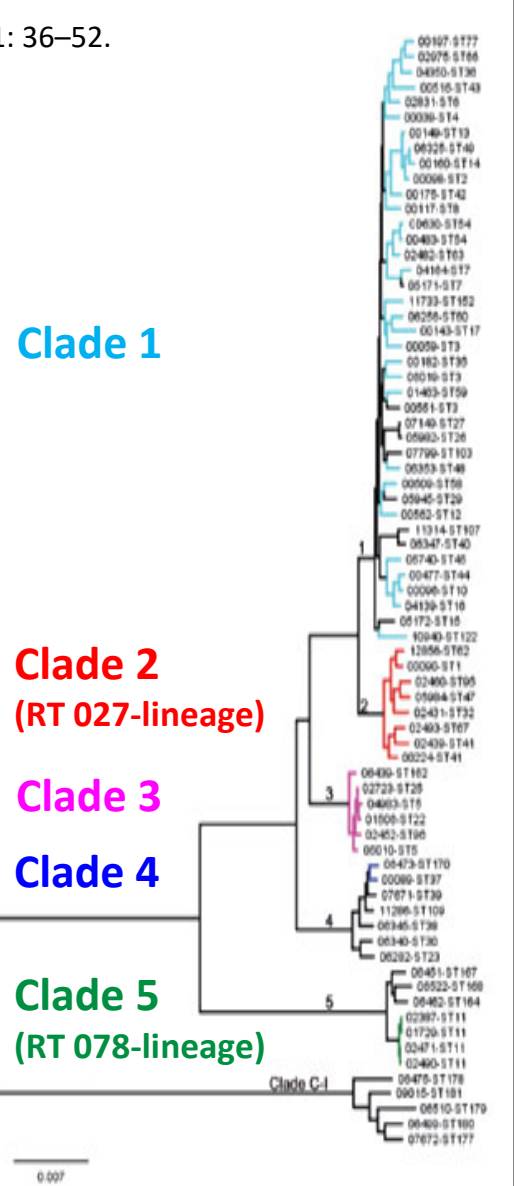
-B-CDT+

solo CDT → CDI

Identificazione solo tramite NAAT per CDT

Clade 5

(RT 033)



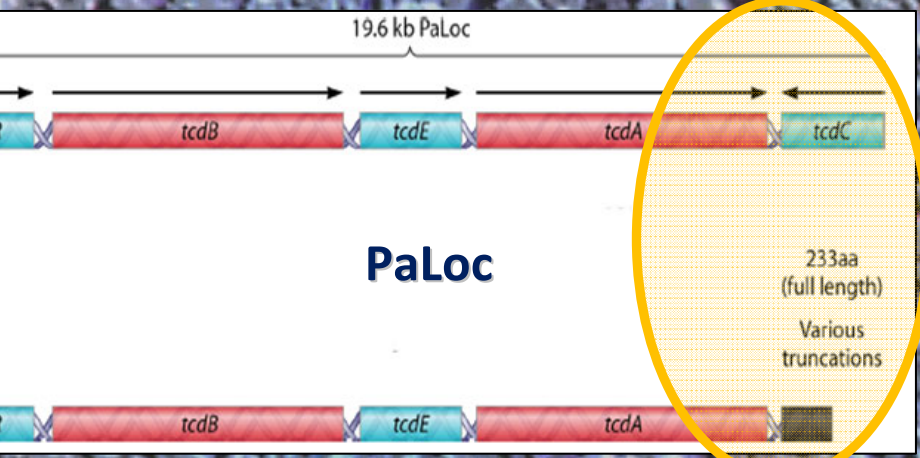
Ceppi CDT+

USA 30% ↑ EU 23%

Associazione tra CDT e aumento della mortalità a 30 g indipendentemente da RT di appartenenza

Gut Microbes. 2014. 5:1, 15–27

Variazioni genetiche *tcdC*



Variazioni *tcdC*

No attività regolatore negativo

Iperproduzione tossine A e B

RT 078: C184T

RT 027: Δ117



Δ117 : RT 016 - RT 036 - RT 080 - RT 328 - RT 176 - RT

I sistemi molecolari che usano Δ117 come marker molecolare non danno una tipizzazione dell'RT 027 ma solo una «identificazione presuntiva»

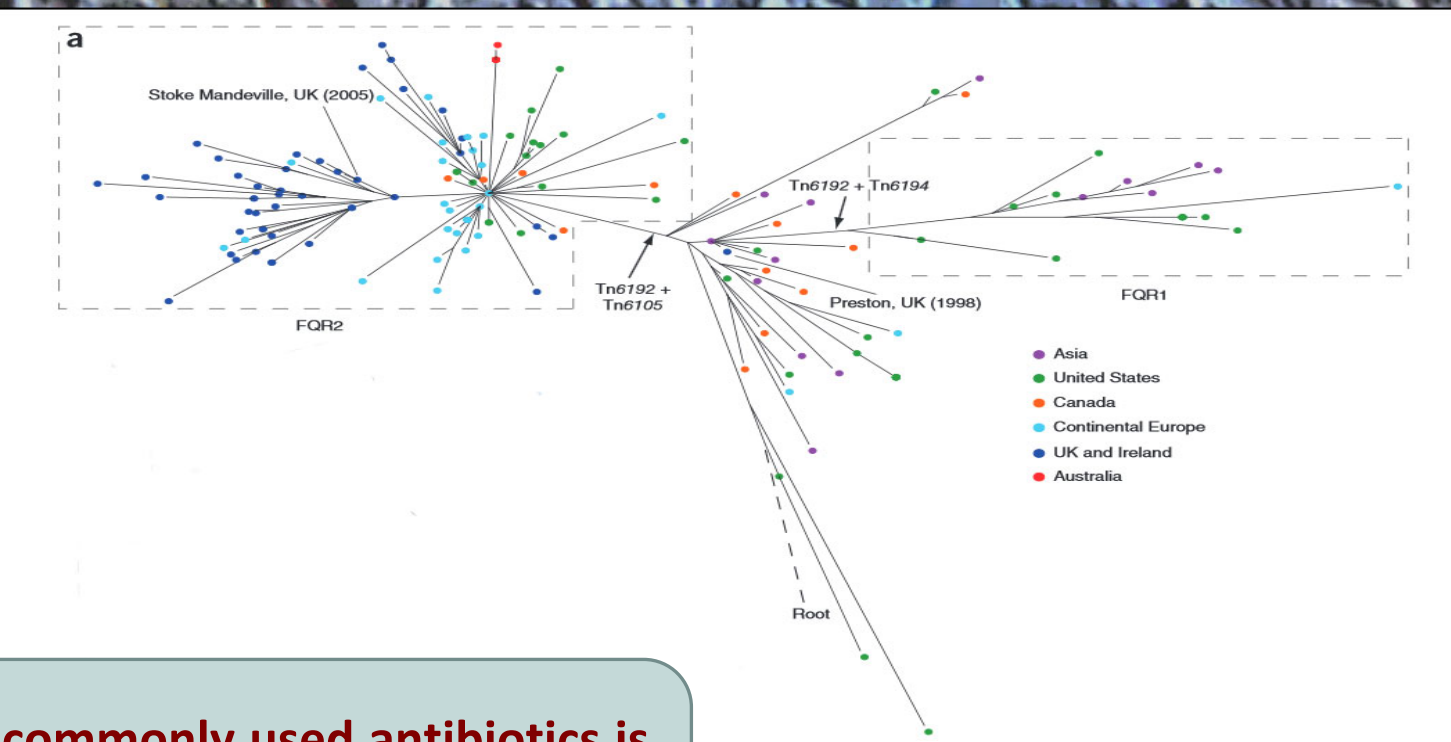
Solo la tipizzazione con Capillary PCR-ribotyping permette di identificare l'RT di appartenenza

WGS di 151 ceppi RT 027 isolati dal 1985 al 2010

Nat Genet. 2013. 45: 109-113

ence and global spread of epidemic healthcare-associated *Clostridium difficile*

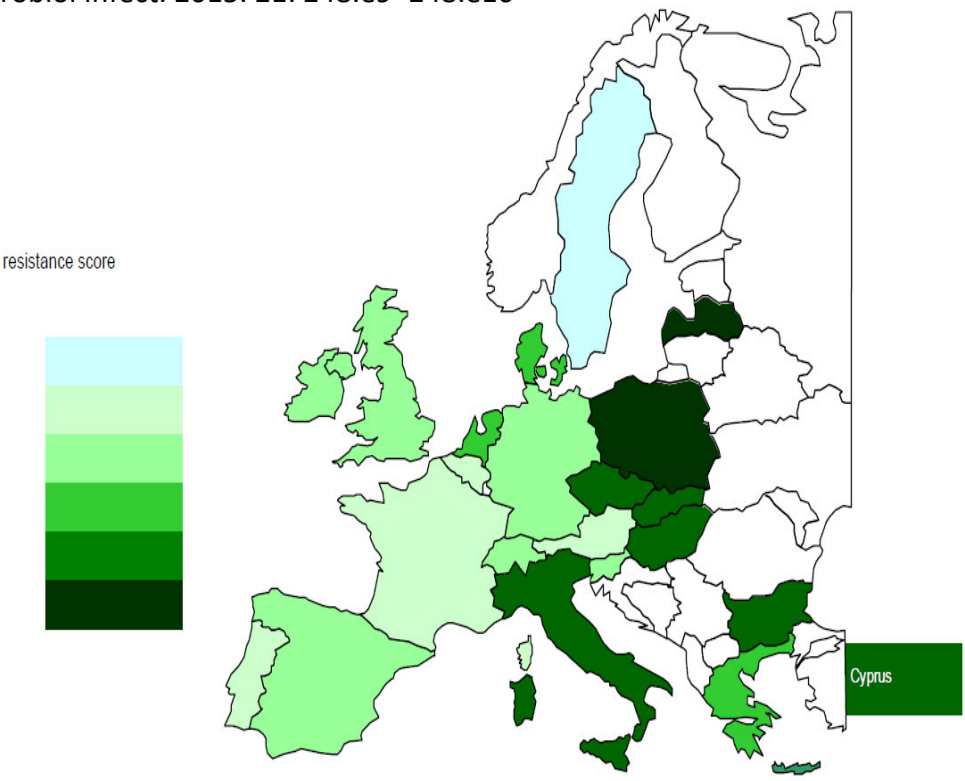
Yoshiaki Miyajima^{2,3}, Paul Roberts^{2,3}, Louise Ellison¹, Derek J Pickard¹, Melissa J Martin⁴,
John R. Norr¹, Simon R Harris¹, Derek Fairley⁵, Kathleen B Bamford^{6,7}, Stephanie D'Arcy^{6,7}, Jon Braziers⁸,
John E Coia⁹, Gill Douce⁹, Dale Gerding¹⁰, Hee Jung Kim¹¹, Tse Hsien Koh¹², Haru Kato¹³,
Tomohiro Koh¹³, Tom Louie¹⁴, Stephen Michell¹⁵, Emma Butt¹⁵, Sharon J Peacock^{1,16–18}, Nick M Brown^{17,18},
Aileen Songer²⁰, Mark Wilcox²¹, Munir Pirmohamed^{2,3}, Ed Kuijper²², Peter Hawkey²³,
Stephen J. Jenkinson⁴, Gordon Dougan¹, Julian Parkhill¹ & Trevor D Lawley¹



..the acquisition of resistance to commonly used antibiotics is
major feature of the continued evolution and persistence
C. difficile 027/BI/NAP1 in healthcare settings”

La sensibilità agli antibiotici

robiol Infect. 2015; 21: 248.e9–248.e16



Europa:

60% dei ceppi isolati da CDI sono MDR ↑

MDR pattern: FQs - CFs - MLS_B

Adv Exp Med Biol. 2018;1050:137-159

Italia (dati ISS):

62% dei ceppi è MDR:

RT 018 e RT 607 → 100% MDR

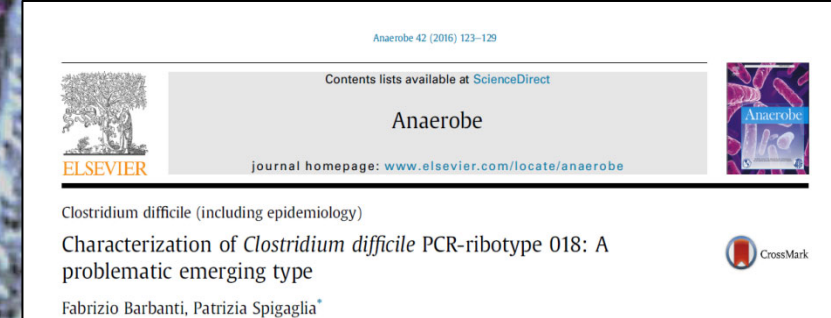
MDR pattern: ERY- CLI - MXF - RIF

RT 018: un «insospettabile» RT di successo

- Non appartiene al Clade 2 o 5
- No CDT
- No variazioni TcdC

- Infezioni gravi ed elevata mortalità
- | | |
|-------------|-------|
| RT018 | 11.7% |
| RT 027 (HV) | 14.3% |
- BMC Infectious Diseases (2016) 16:656
European Journal of Internal Medicine 54 (2018) 21-26
- Indice di trasmissione durante outbreak
>10 volte rispetto a RT 078 (HV)

J. Clin. Microbiol. 2015. 53: 2575–2580



RT 018 vs RT 078

> adesione cellule CaCO₂ a 15 g
e

> produzione tossine a 48h

> sporulazione a 24h
e

> R agli antibiotici

RT 018 predominante a 24h
nei test di competizione *in vitro*

In vivo

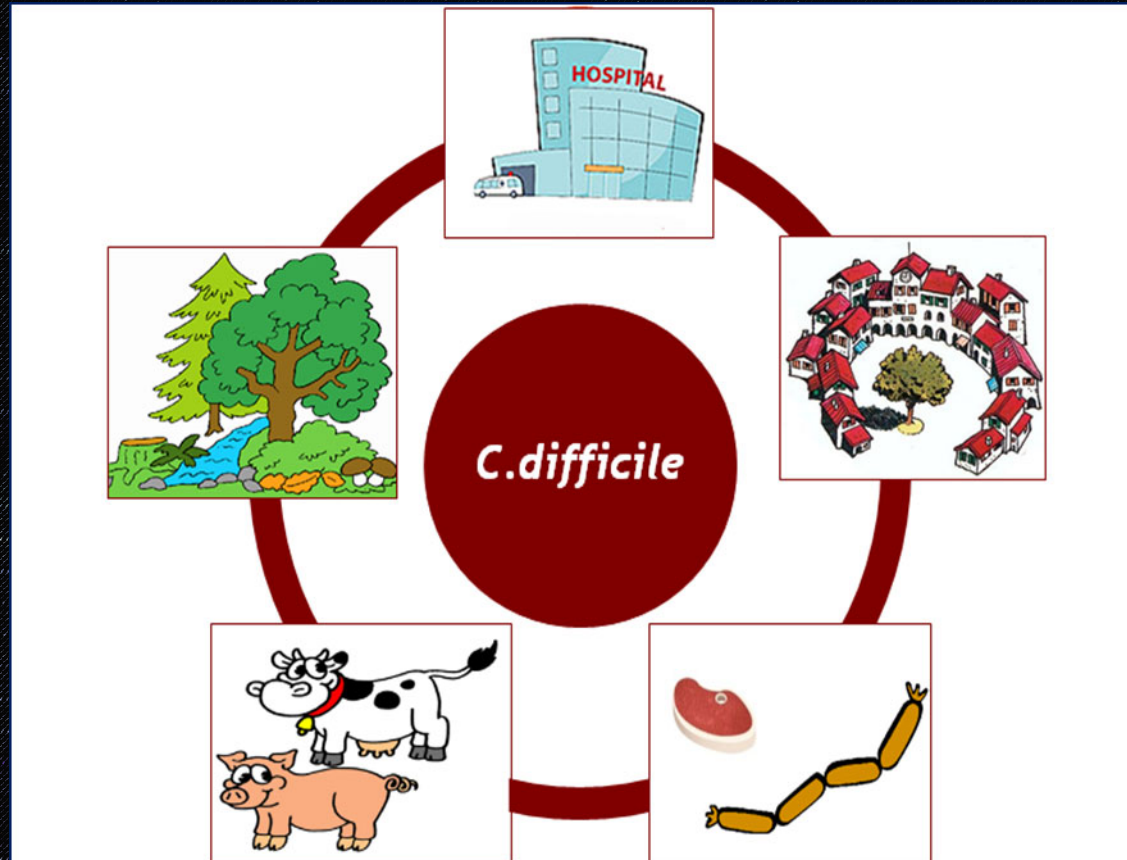
Rapida colonizzazione
dell'intestino

Elevata trasmissibilità
e persistenza

“DI sits firmly under the One Health umbrella, in which human health, animal health and the environment are inextricably linked”

L.E. Bloomfield – T.V. Riley

Caratteristiche che si
modificano nel
tempo



Lineage di successo
RT di successo
Cloni di successo

**Grazie per
l'attenzione**